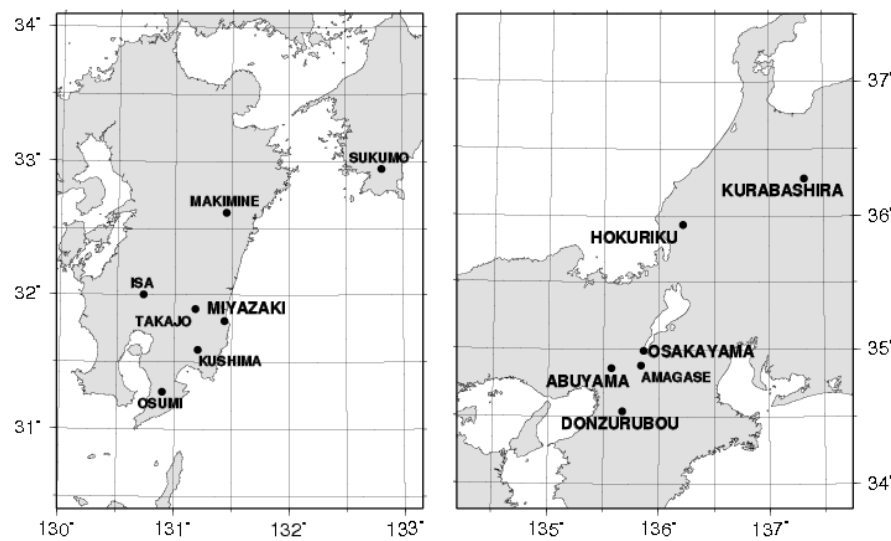


8－4 地殻活動総合観測線最近1年／近畿10年の観測結果
Continuous Observations of Crustal Deformations at Observation
Networks in Central Kinki and Southeast Kyusyu District

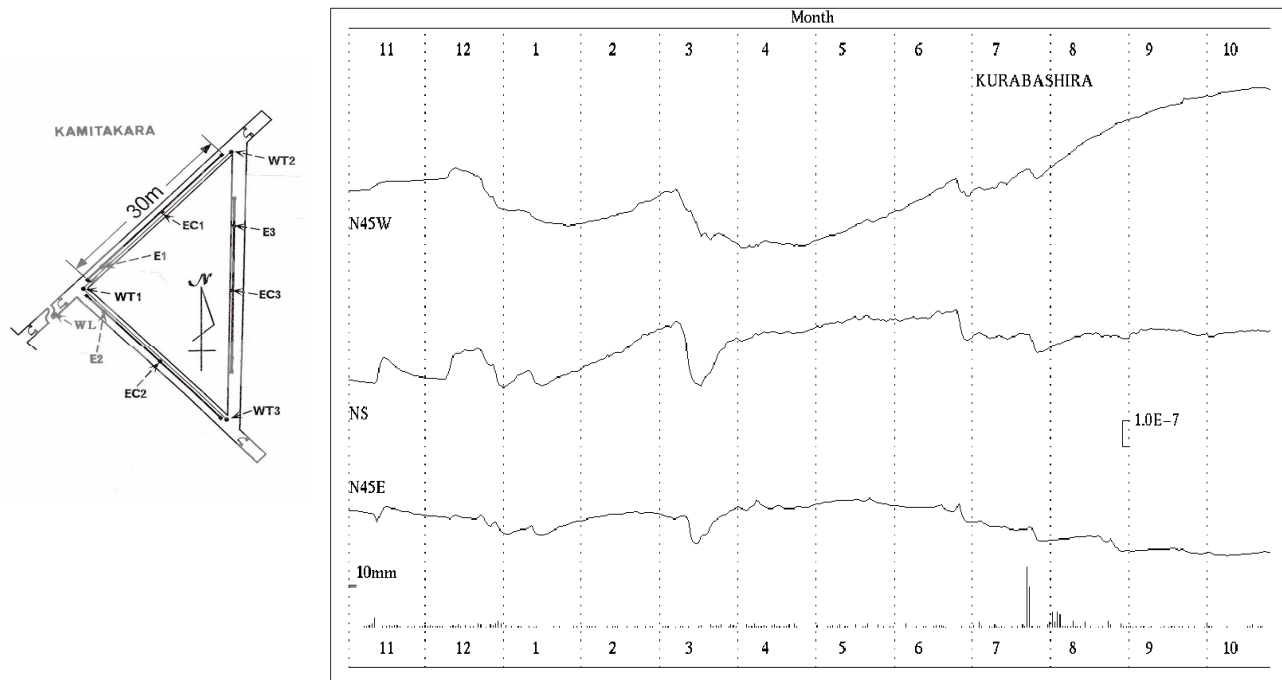
京都大学防災研究所地震予知研究センター
Research Center for Earthquake Prediction,
Disaster Prevention Research Institute, Kyoto University

近畿・北陸地方および日向灘地殻活動総合観測線の主要点の坑道内歪観測結果の最近1年分を示す。近畿地方では、一部の観測点で3月・4月から現れた歪速度変化は復したようにも見える。ただ、逢坂山で、降雨データを使った地下水位の推定結果が4月以降実測水位と乖離しているのが目立っている。近畿北部の2002年～2003年からの異常変動の現状を示すため近畿の主要点については1999年以来の記録も併せて示す。長期的にみた2003年以降のトレンド変化は継続しているといえよう。日向灘観測線ではこの秋は台風が上陸せず長期間の大雨が無かったため降雨の影響による歪レートは例年に比べると小さくなっている。短期の豪雨では回復変動も速い。日向灘観測線では水管傾斜計による傾斜観測値もあわせて示すが宿毛の傾斜計は機器不良が生じたため欠測とし同図には伸縮計の中間センサー出力を代わりに掲載した。

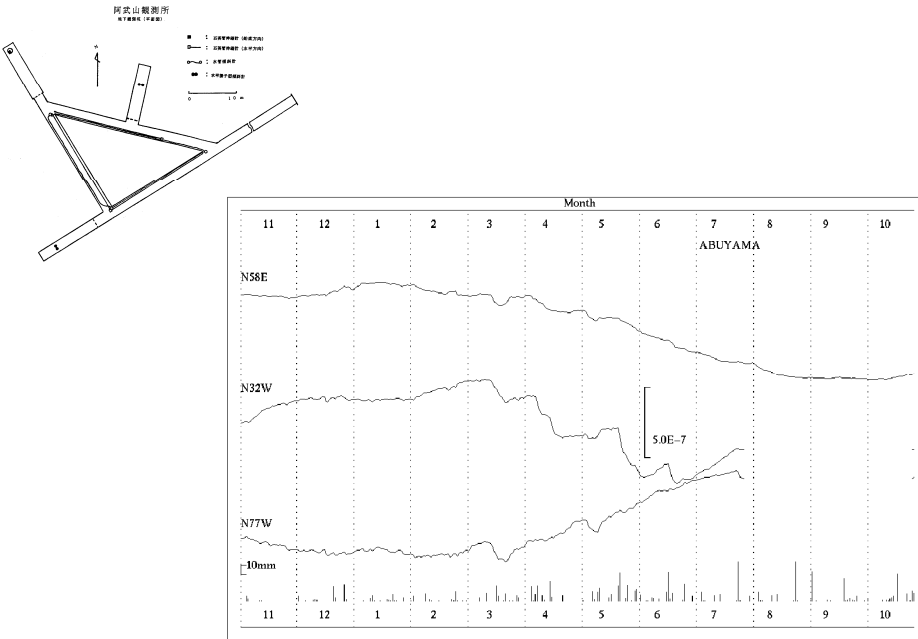
(大谷文夫・森井 瓦・寺石眞弘)



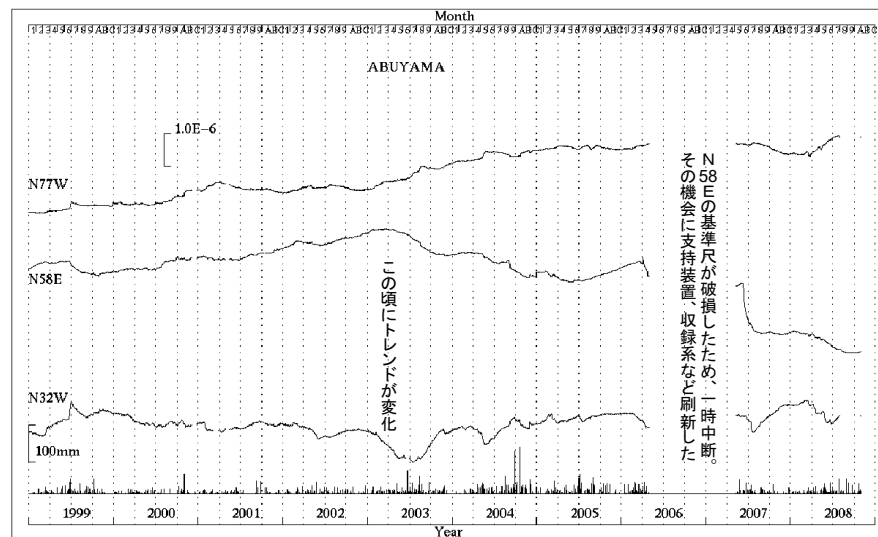
第1図 觀測点位置図
Fig.1 Location map of observatories.



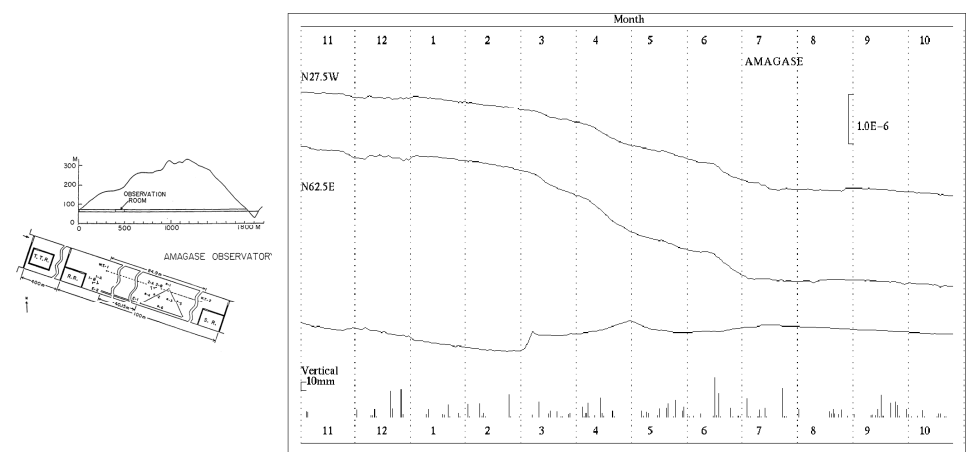
第2図 上宝観測所蔵柱観測室における歪変化と日雨量（2007年11月～2008年10月）
Fig.2 Strain changes and daily precipitation at Kurabashira observatory.
(Nov. 1, 2007 ~ Oct. 31, 2008).



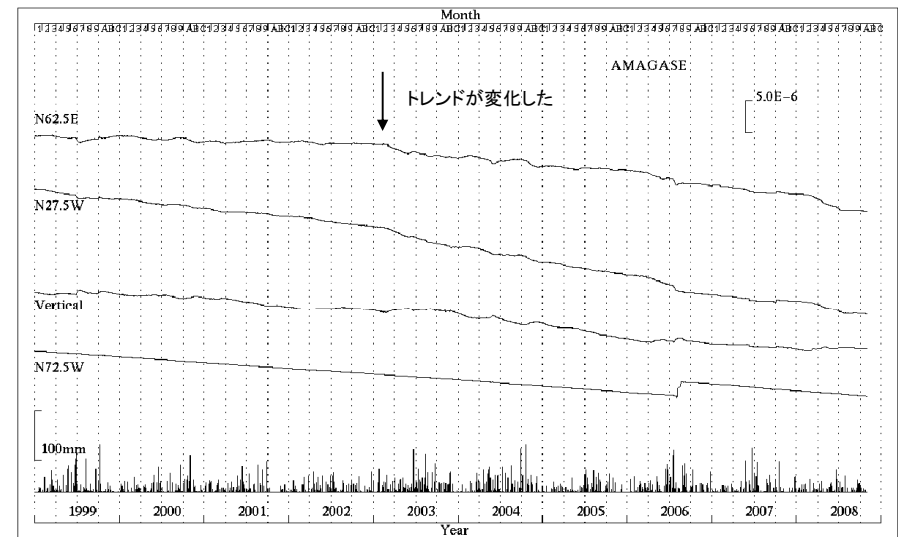
第3図 a 阿武山観測所における歪変化と日雨量（2007年11月～2008年10月）
Fig.3a Strain changes and daily precipitation at Abuyama observatory.
(Nov. 1, 2007 ~ Oct. 31, 2008).



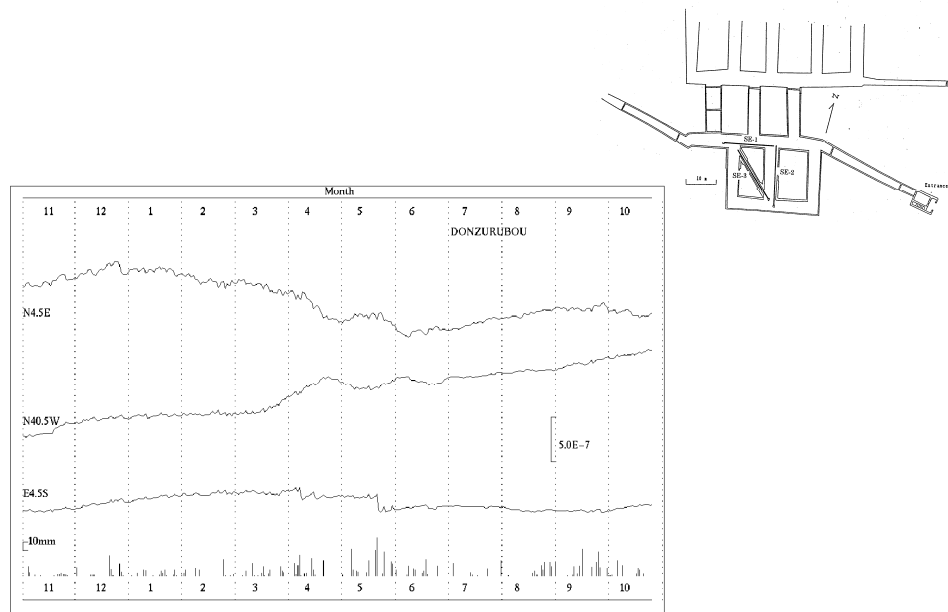
第3図 b 阿武山観測所における歪変化と日雨量（1999年1月～2008年10月）
Fig.3b Strain changes and daily precipitation at Abuyama observatory.
(Jan. 1, 1999 ~ Oct. 31, 2008).



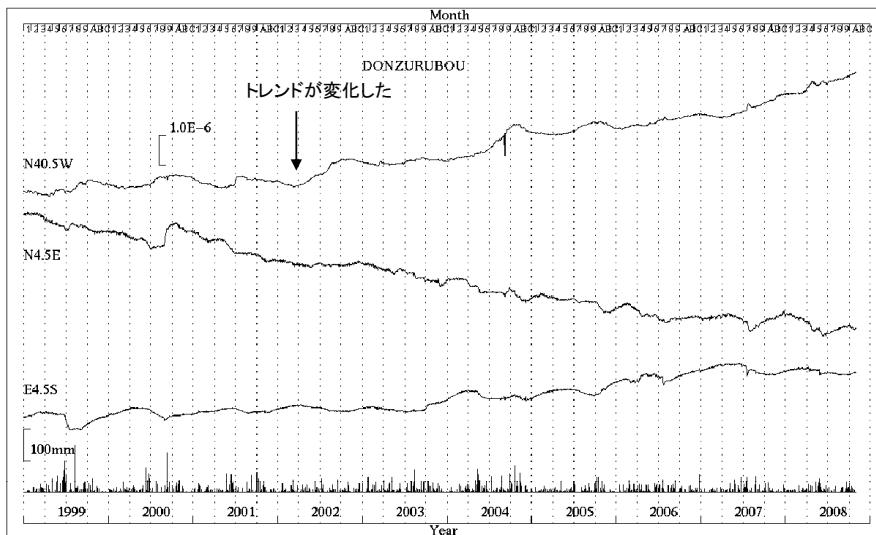
第4図 a 天ヶ瀬観測室における歪変化と日雨量（2007年11月～2008年10月）
Fig.4a Strain changes and daily precipitation at Amagase observatory.
(Nov. 1, 2007 ~ Oct. 31, 2008).



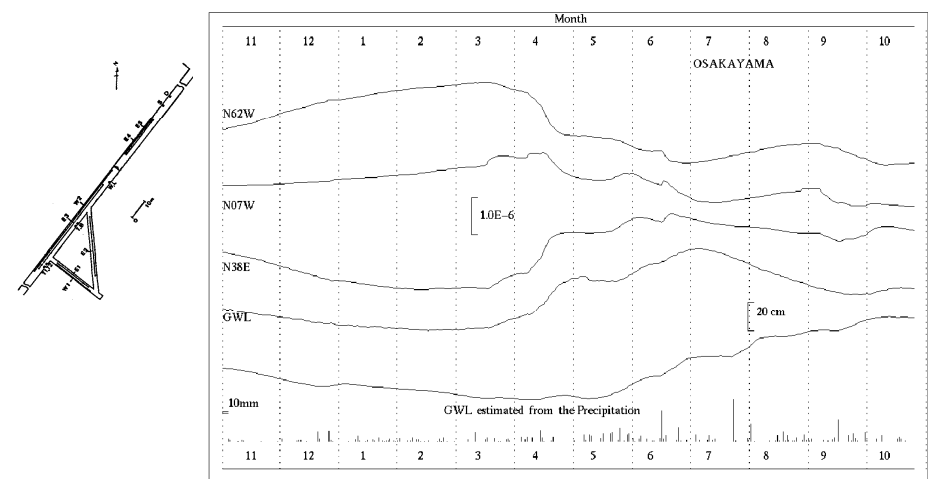
第4図 b 天ヶ瀬観測室における歪変化と日雨量（1999年1月～2008年10月）
Fig.4b Strain changes and daily precipitation at Amagase observatory.
(Jan. 1, 1999 ~ Oct. 31, 2008).



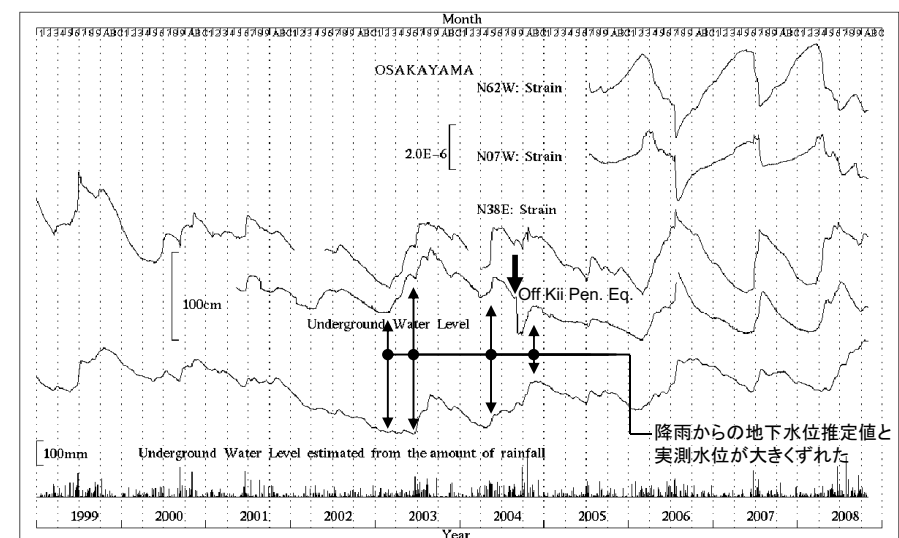
第5図 a 屯鶴峯観測所における歪変化と日雨量（2007年11月～2008年10月）
Fig.5a Strain changes and daily precipitation at Donzurubo observatory.
(Nov. 1, 2007 ~ Oct. 31, 2008).



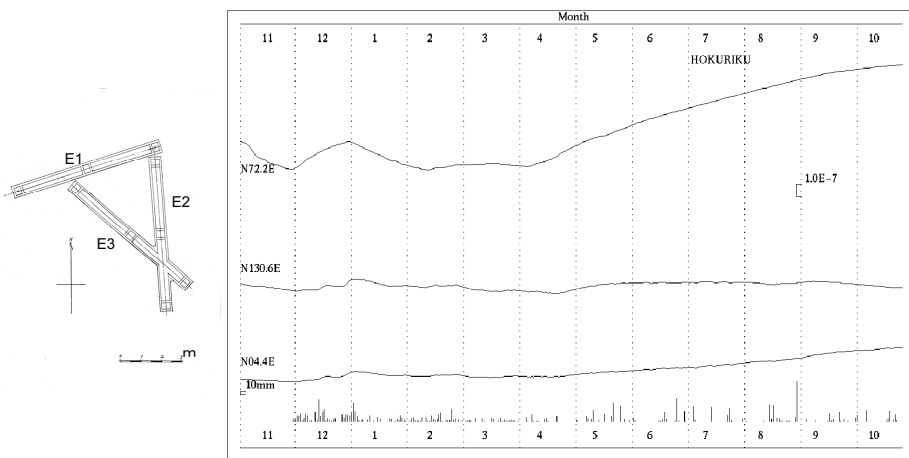
第5図 b 屯鶴峯観測所における歪変化と日雨量（1999年1月～2008年10月）
Fig.5b Strain changes and daily precipitation at Donzurubo observatory.
(Jan. 1, 1999 ~ Oct. 31, 2008).



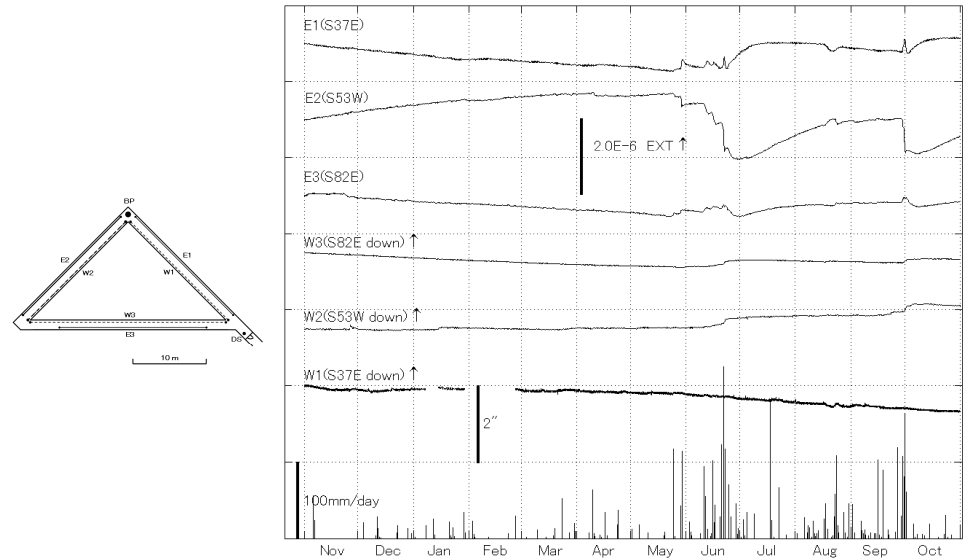
第6図 a 逢坂山観測所における歪変化、地下水位、日雨量から算出した地下水位推定値（2007年11月～2008年10月）
Fig.6a Strain change, underground water level, daily precipitation and estimated underground water level from precipitation at Osakayama observatory.
(Nov. 1, 2007 ~ Oct. 31, 2008).



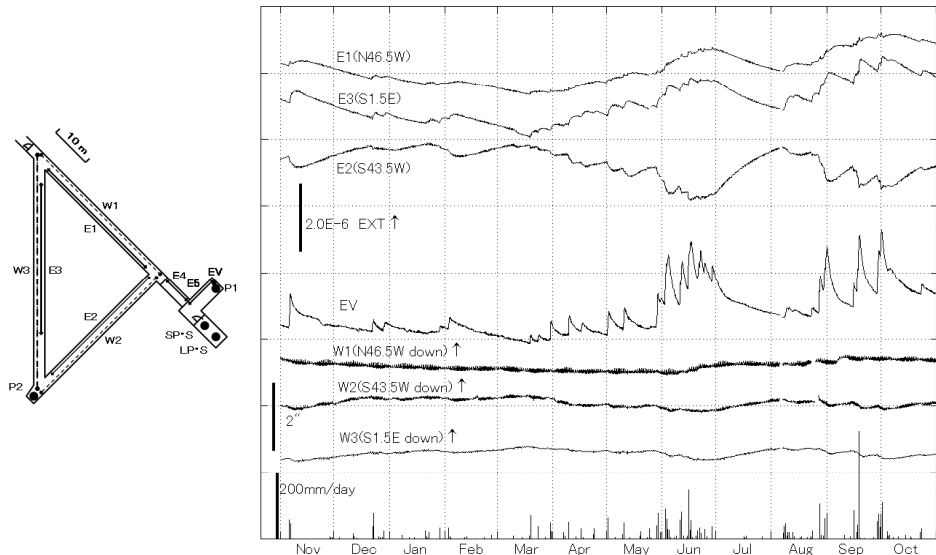
第6図 b 逢坂山観測所における歪変化、地下水位、日雨量から算出した地下水位推定値（1999年1月～2008年10月）
Fig.6b Strain change, underground water level, daily precipitation and estimated underground water level from precipitation at Osakayama observatory.
(Jan. 1, 1999 ~ Oct. 31, 2008).



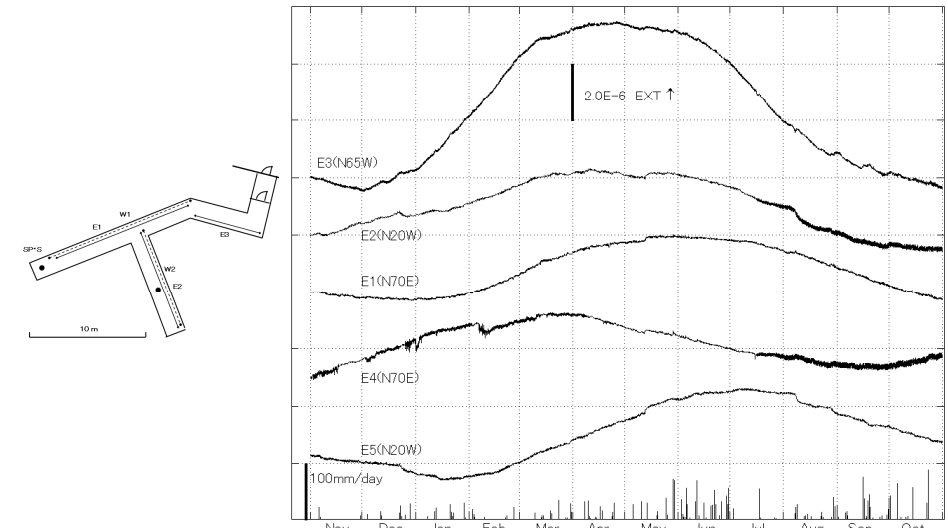
第7図 北陸観測所における歪変化と日雨量（2007年11月～2008年10月）
Fig.7 Strain changes and daily precipitation at Hokuriku observatory.
(Nov. 1, 2007 ~ Oct. 31, 2008).



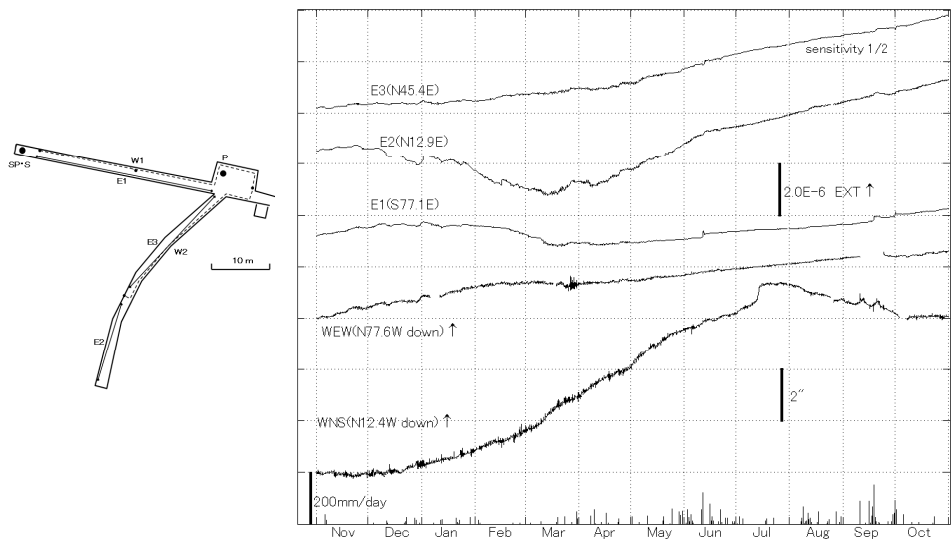
第9図 伊佐観測室における歪・傾斜変化と日雨量（2007年11月～2008年10月）
Fig.9 Strain changes, tilt changes and daily precipitation at Isa station.
(Nov. 1, 2007 ~ Oct. 31, 2008).



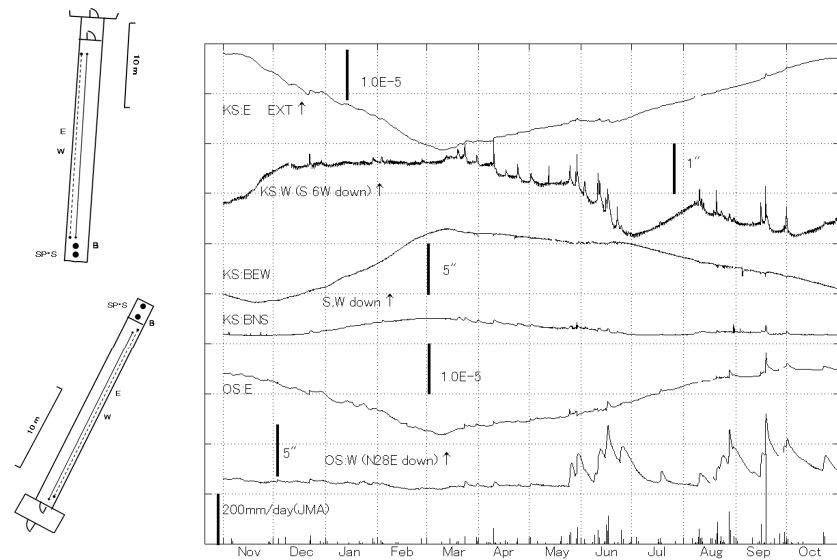
第8図 宮崎観測所における歪・傾斜変化と日雨量（2007年11月～2008年10月）
Fig.8 Strain changes, tilt changes and daily precipitation at Miyazaki observatory.
(Nov. 1, 2007 ~ Oct. 31, 2008).



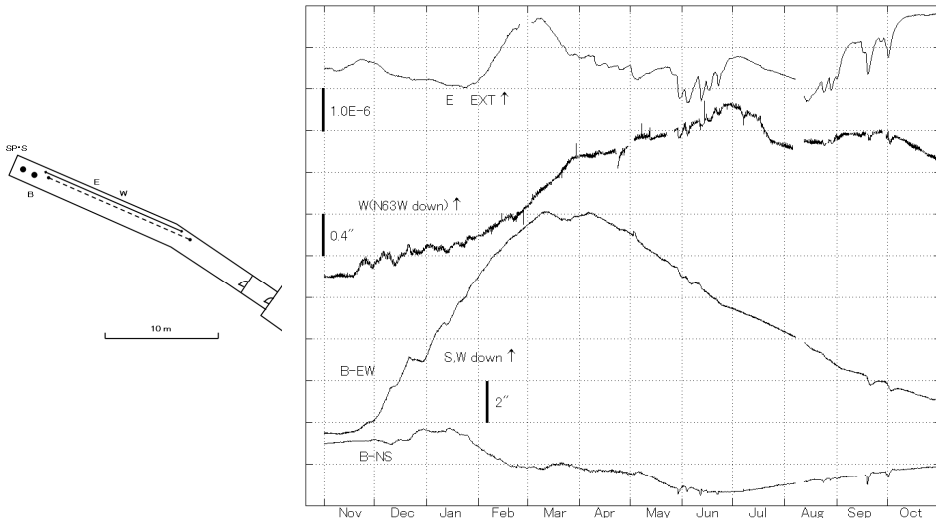
第10図 宿毛観測所における歪・傾斜変化と日雨量（2007年11月～2008年10月）
Fig.10 Strain changes, tilt changes and daily precipitation at Sukumo station.
(Nov. 1, 2007 ~ Oct. 31, 2008).



第11図 横峰観測室における歪・傾斜変化と日雨量（2007年11月～2008年10月）
Fig.11 Strain changes, tilt changes and daily precipitation at Makimine station.
(Nov. 1, 2007 ~ Oct. 31, 2008).



第13図 串間・大隈、観測室における歪変化と傾斜変化（2007年11月～2008年10月）
Fig.13 Strain changes and tilt changes at Kushima, and Ohsumi station.
Lowest bar graph is daily precipitation at Tashiro, nearest station by JMA.
(Nov. 1, 2007 ~ Oct. 30, 2008)



第12図 高城観測室における歪変化と傾斜変化（2007年11月～2008年10月）
Fig.12 Strain changes and tilt changes at Takajo station.
(Nov. 1, 2007 ~ Oct. 30, 2008)